

УДК 532.526

ДИФРАКЦИЯ АКУСТИЧЕСКИХ ВОЛН НА ПЕРЕДНЕЙ КРОМКЕ ПЛОСКОЙ ПЛАСТИНЫ, ПОМЕЩЕННОЙ В СВЕРХЗВУКОВОЙ ПОТОК

С. А. Гапонов, Б. В. Смородский

Институт теоретической и прикладной механики СО РАН, 630090 Новосибирск
E-mail: gaponov@itam.nsc.ru

Предложена схема расчета интенсивности акустического волнового поля, возникающего в результате дифракции пучка акустических волн на острой передней кромке плоской пластины в сверхзвуковом потоке. Показано, что указанное волновое поле является функционалом от распределения амплитуды массового расхода в звуковом поле на уровне поверхности пластины перед ней. Это распределение может быть найдено в результате измерений. Важную роль в определении колебаний массового расхода вдоль пластины играет разрыв нормальной к пластине компоненты возмущения скорости на кромке пластины. На больших расстояниях от передней кромки пластины, где дифракционная волна на внешней границе пограничного слоя вырождается в продольные звуковые волны, амплитуда колебаний массового расхода уменьшается с увеличением расстояния от передней кромки и зависит от ориентации волны.

Ключевые слова: пограничный слой, гидродинамическая устойчивость, восприимчивость, ламинарно-турбулентный переход, аэроакустика.

1. В настоящей работе задача о дифракции звуковых волн на телах, помещенных в сверхзвуковой поток, рассматривается в связи с изучением восприимчивости пристенного течения (например, в пограничном слое) к акустическим волнам и проблемой управления переходом ламинарного течения в турбулентное. О степени влияния акустических волн на переход хорошо известно (см., например, [1, 2]). В экспериментах [3] обнаружено, что наиболее эффективное воздействие звуковых волн наблюдается в области передней кромки. По-видимому, впервые влияние акустических волн на порождение колебаний в пограничном слое с позиций взаимодействия дифракционного звукового поля с пристенным вязким течением рассматривалось в [4]. Для проверки выводов работы [4] были поставлены эксперименты [5], в которых пластина облучалась звуком снизу, а измерения возмущений производились в пограничном слое на верхней стороне, находящейся в тени звукового поля. Таким образом, взаимодействие могло происходить только с дифракционной волной. На больших расстояниях от передней кромки пластины дифракционная волна на внешней границе пограничного слоя вырождается в продольные звуковые волны, фронты которых могут быть наклонены под разными углами по отношению к передней кромке пластины [6]. Интенсивность дифракционной волны мала и в экспериментах [5] не измерялась. В то же время в [6] показано, что продольные звуковые волны могут возбуждать в пограничном слое колебания большой интенсивности. В результате этого дифракционные волны малой интенсивности могут порождать заметные колебания потока внутри пограничного слоя.

Работа выполнена при финансовой поддержке Российского фонда фундаментальных исследований (код проекта 02-01-00051a) и фонда "Ведущие научные школы" (грант № НШ-964.2003.1).

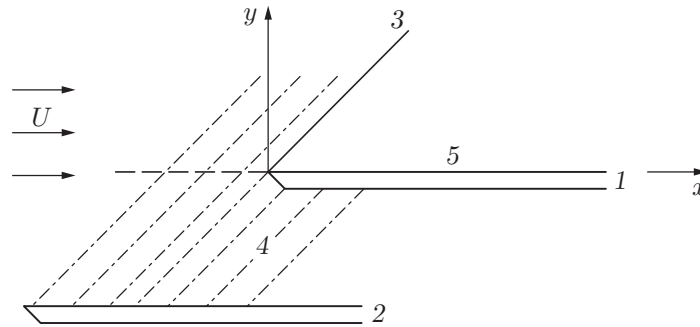


Схема эксперимента:

1 — основная пластина; 2 — источник звука; 3 — линия Маха; 4 — звуковое поле;
5 — дифракционная зона

Этим обстоятельством можно объяснить существенное влияние звукового поля, действующего в области передней кромки, на колебания пограничного слоя на больших расстояниях от последней.

Как уже отмечалось, в эксперименте невозможно выделить и измерить амплитуду дифракционной волны, а в расчетах [6] она принимается заданной. Поэтому в настоящее время непосредственное сопоставление теории и эксперимента не представляется возможным.

В данной работе предложена схема расчета интенсивности дифракционной волны по данным колебаний массового расхода в звуковом поле на уровне верхней поверхности пластины перед ней.

2. На рисунке приведена схема облучения звуком пластины, помещенной в сверхзвуковой поток. Начало координаты $x = 0$ совпадает с передней кромкой пластины. Ось z направлена вдоль передней кромки пластины перпендикулярно плоскости (x, y) . Звуковой пучок ограничен в направлении z , т. е. его интенсивность быстро убывает при $|z| \rightarrow \infty$. В задачу данной работы входит определение параметров дифракционной волны по распределению возмущений в области $x < 0$. Как отмечалось выше, данная задача в основном поставлена с целью сопоставления результатов экспериментальной [5] и теоретической [6] работ. Заметим, что в экспериментах [5] проведены измерения возмущений массового расхода на заданной частоте в области $x < 0$ при $y = 0$. Результаты измерений подвергались преобразованию Фурье по времени t и координате z . Таким образом, из экспериментов можно получить распределение $\bar{m}_1(\omega, \beta, x, y = 0)$ при $x < 0$, где ω — частотный параметр; β — волновое число в направлении z .

Уравнения безвихревой газовой динамики для возмущений запишем в следующем виде:

$$\begin{aligned} \frac{du}{dt} &= -\frac{1}{\gamma M^2} \frac{\partial \pi}{\partial x}, & \frac{dv}{dt} &= -\frac{1}{\gamma M^2} \frac{\partial \pi}{\partial y}, & \frac{dw}{dt} &= -\frac{1}{\gamma M^2} \frac{\partial \pi}{\partial z}, \\ \frac{dr}{dt} &= -\left(\frac{\partial u}{\partial x} + \frac{\partial v}{\partial y} + \frac{\partial w}{\partial z}\right), & \frac{d\theta}{dt} &= (1 - \gamma)\left(\frac{\partial u}{\partial x} + \frac{\partial v}{\partial y} + \frac{\partial w}{\partial z}\right), \\ \frac{\partial u}{\partial y} &= \frac{\partial v}{\partial x}, & \frac{\partial u}{\partial z} &= \frac{\partial w}{\partial x}, & \frac{\partial v}{\partial z} &= \frac{\partial w}{\partial y}, & m_1 &= r + u, & \pi &= r + \theta. \end{aligned} \quad (1)$$

Здесь u, v, w — возмущения скоростей; π — давление; θ — температура; r — плотность; M — число Маха набегающего потока; $d/dt = \partial/\partial t + \partial/\partial x$; $m_1(t, z, x, y)$ — массовый расход в направлении x ; γ — показатель адиабаты. Последнее соотношение в (1) получено из

уравнения состояния. Все параметры потока и звуковой волны отнесены к своим значениям в невозмущенном потоке. В частности, скорость набегающего потока принята равной единице. Характерный линейный масштаб L пока не конкретизируется, а в качестве характерного времени можно принять $t_1 = U/L$. Из приведенных соотношений следует, что массовый расход удовлетворяет волновому уравнению

$$M^2 \frac{d^2 m_1}{dt^2} = \frac{\partial^2 m_1}{\partial x^2} + \frac{\partial^2 m_1}{\partial y^2} + \frac{\partial^2 m_1}{\partial z^2}.$$

Применяя прямое и обратное преобразования Фурье, находим

$$\begin{aligned} \bar{m}_1(\omega, \beta, x, y) &= \frac{1}{\sqrt{2\pi}} \int_{-\infty}^{\infty} \frac{2}{T} \left(\int_0^T m_1(t, z, x, y) \exp(-i\beta z + i\omega t) \right) dt dz, \\ m_1(t, z, x, y) &= \frac{1}{\sqrt{2\pi}} \int_{-\infty}^{\infty} \int_{-\infty}^{\infty} \bar{m}_1(\omega, \beta, x, y) \exp(i\beta z - i\omega t) d\omega d\beta. \end{aligned} \quad (2)$$

Подставляя последнее выражение в волновое уравнение, получим

$$M^2 \left(-i\omega + \frac{\partial}{\partial x} \right)^2 \bar{m}_1 = -\beta^2 \bar{m}_1 + \frac{\partial^2 \bar{m}_1}{\partial x^2} + \frac{\partial^2 \bar{m}_1}{\partial y^2}. \quad (3)$$

Покажем, что значения массового расхода в области $x > 0$ при $y = 0$ можно определить по его градиенту:

$$\bar{m}_1(x, y = 0) = -\frac{1}{\sqrt{M^2 - 1}} \int_0^{\infty} \frac{\partial \bar{m}_1(x - \bar{x})}{\partial y} J_0(a\bar{x}) \exp(i\alpha_0 \bar{x}) d\bar{x}. \quad (4)$$

Здесь J_0 — функция Бесселя нулевого порядка; $\alpha_0 = M^2 \omega / (M^2 - 1)$; $a^2 = a_0^2 + \beta^2 / (M^2 - 1)$; $a_0^2 = M^2 \omega^2 / (M^2 - 1)^2$.

Пусть $\partial \bar{m}_1 / \partial y = F(x, y)$ — известная функция. Проинтегрируем ее по y от нуля до бесконечности с учетом равенства нулю m_1 на бесконечности. Тогда $\bar{m}_1(x, 0) = -\int_0^{\infty} F dy$.

Известно, что акустическое поле в любой точке (x, y) можно восстановить, если оно задано на линии $y = y_0 = 0$. В [7] соответствующая связь получена в виде

$$F(x, y) = F(x - k, 0) \exp(i\alpha_0 k) - \int_k^{\infty} \frac{F(x - \bar{x}, 0) \exp(i\alpha_0 \bar{x}) ak}{\sqrt{\bar{x}^2 - k^2}} J_1(a\sqrt{\bar{x}^2 - k^2}) d\bar{x},$$

где $k = y\sqrt{M^2 - 1}$. Таким образом,

$$\begin{aligned} m_1(x, 0) &= m^1 + m^2, \quad m^1 = -\frac{1}{\sqrt{M^2 - 1}} \int_0^{\infty} F(x - k, 0) \exp(i\alpha_0 k) dk, \\ m^2 &= \frac{1}{\sqrt{M^2 - 1}} \int_0^{\infty} \int_k^{\infty} \frac{F(x - \bar{x}, 0)}{\sqrt{\bar{x}^2 - k^2}} \exp(i\alpha_0 \bar{x}) ak J_1(a\sqrt{\bar{x}^2 - k^2}) d\bar{x} dk. \end{aligned}$$

Изменив порядок интегрирования, получим

$$\begin{aligned} m^2 &= -\frac{1}{\sqrt{M^2-1}} \int_0^\infty F(x-\bar{x}, 0) \exp(i\alpha_0\bar{x}) \left[\int_0^{a\bar{x}} J_1(z) dz \right] d\bar{x} = \\ &= -\frac{1}{\sqrt{M^2-1}} \int_0^\infty F(x-\bar{x}, 0) \exp(i\alpha_0\bar{x}) (J_0(a\bar{x}) - 1) d\bar{x}. \end{aligned}$$

С учетом соотношения

$$\frac{1}{\sqrt{M^2-1}} \int_0^\infty F(x-\bar{x}, 0) \exp(i\alpha_0\bar{x}) d\bar{x} = -m^1$$

получим выражение

$$\bar{m}_1(x, 0) = -\frac{1}{\sqrt{M^2-1}} \int_0^\infty F(x-\bar{x}, 0) J_0(a\bar{x}) \exp(i\alpha_0\bar{x}) d\bar{x},$$

которое совпадает с соотношением (4).

Производную $\partial\bar{m}_1(x, 0)/\partial y$ при $x < 0$ находим в предположении, что распределение массового расхода в этой области известно. В экспериментах оно измеряется непосредственно. При $x > 0$ принимаем $\bar{m}_1 = 0$, что возможно, так как возмущения на поверхности пластины не влияют на область $x < y/\sqrt{M^2-1}$. Пусть, кроме того, $\bar{m}_1 = 0$ в области $x < -L$. Применяя прямое и обратное преобразования Фурье, получим

$$\begin{aligned} \bar{\bar{m}}_1(\omega, \beta, \alpha, y) &= \frac{1}{\sqrt{2\pi}} \int_{-\infty}^\infty \bar{m}_1(\omega, \beta, x, y) \exp(-i\alpha x) dx, \\ \bar{m}_1(\omega, \beta, x, y) &= \frac{1}{\sqrt{2\pi}} \int_{-\infty+i\delta}^{\infty+i\delta} \bar{\bar{m}}_1(\omega, \beta, \alpha, y) \exp(i\alpha x) d\alpha. \end{aligned} \quad (5)$$

В силу того, что $\bar{m}_1 = 0$ при $x < -L$ и $x > 0$, $\bar{\bar{m}}_1(\omega, \beta, \alpha, y)$ является аналитической функцией во всей области значений α . Подставляя последнее выражение в (3), получим

$$M^2(-i\omega + i\alpha)^2 \bar{\bar{m}}_1 = -(\beta^2 + \alpha^2) \bar{\bar{m}}_1 + \frac{d^2 \bar{\bar{m}}_1}{dy^2}. \quad (6)$$

Таким образом,

$$\bar{\bar{m}}_1(\omega, \beta, \alpha, y) = \bar{\bar{m}}_1(\omega, \beta, \alpha, 0) \exp(i\lambda y),$$

где выражение

$$\lambda = \pm \sqrt{M^2(\alpha - \omega)^2 - \alpha^2 - \beta^2} = \pm \sqrt{M^2-1} \sqrt{-a^2 + (\Delta\alpha)^2} \quad (\Delta\alpha = \alpha - \alpha_0)$$

следует из (6), а знак выбирается так, чтобы обеспечить затухание при $y \rightarrow \infty$ (см. [7]). Поэтому

$$\bar{m}_1(\omega, \beta, x, y) = \frac{1}{\sqrt{2\pi}} \int_{-\infty+i\delta}^{\infty+i\delta} \bar{\bar{m}}_1(\omega, \beta, \alpha, 0) \exp(i\lambda y + i\alpha x) d\alpha.$$

На основе принятых допущений можно определить производную $\partial \bar{m}_1(x, 0)/\partial y$ в области $x < 0$. Имеем

$$\frac{\partial \bar{m}_1(\omega, \beta, x, 0)}{\partial y} = \frac{1}{\sqrt{2\pi}} \int_{-\infty+i\delta}^{\infty+i\delta} i\lambda \bar{m}(\omega, \beta, \alpha, 0) \exp(i\alpha x) d\alpha. \quad (7)$$

Покажем, что на поверхности пластины $\partial m_1/\partial y|_{y=0, x>0} = 0$. Из системы (1) следует, что

$$\frac{d}{dt} \left(\frac{\partial r}{\partial y} \right) = - \left(\frac{\partial^2 v}{\partial x^2} + \frac{\partial^2 v}{\partial y^2} + \frac{\partial^2 v}{\partial z^2} \right) = -\Delta v, \quad \frac{d}{dt} \left(\frac{\partial \pi}{\partial y} \right) = -\gamma \Delta v.$$

Таким образом,

$$\begin{aligned} \frac{1}{\gamma} \frac{d}{dt} \left(\frac{\partial \pi}{\partial y} \right) &= \frac{d}{dt} \left(\frac{\partial r}{\partial y} \right), \\ \frac{d}{dt} \left(\frac{\partial m_1}{\partial y} \right) &= \frac{d}{dt} \left(\frac{\partial r}{\partial y} \right) + \frac{d}{dt} \left(\frac{\partial u}{\partial y} \right) = \frac{1}{\gamma} \frac{d}{dt} \left(\frac{\partial \pi}{\partial y} \right) + \frac{d}{dt} \left(\frac{\partial v}{\partial x} \right), \\ \frac{d}{dt} \left(\frac{\partial m_1}{\partial y} - \frac{1}{\gamma} \frac{\partial \pi}{\partial y} - \frac{\partial v}{\partial x} \right) &= 0. \end{aligned}$$

Поскольку

$$\frac{1}{\gamma} \frac{\partial \pi}{\partial y} = -M^2 \frac{dv}{dt},$$

имеем

$$\frac{d}{dt} \left(\frac{\partial m_1}{\partial y} + M^2 \frac{dv}{dt} - \frac{\partial v}{\partial x} \right) = \frac{d\Psi}{dt} = 0$$

или

$$\frac{\partial \Psi}{\partial t} + \frac{\partial \Psi}{\partial x} = 0.$$

Решением последнего уравнения является функция $\Psi = \Psi(x - t)$. Однако $\Psi(t) = 0$ при $x = -\infty$, поэтому $\Psi = 0$ при $t = \infty$ и как следствие

$$\frac{\partial \bar{m}_1}{\partial y} = -(M^2 - 1) \frac{\partial \bar{v}}{\partial x} - M^2 \frac{\partial \bar{v}}{\partial t}. \quad (8)$$

Так как нормальная скорость на поверхности пластины равна нулю, то $\partial \bar{m}_1/\partial y|_{y=0} = 0$. Таким образом, с учетом (7) градиент массового расхода при $y = 0$ задан во всей области значений x , за исключением $x = 0$.

Предположим, однако, что $\partial m/\partial y$ задано на всей оси x , включая точку $x = 0$. Как будет показано ниже, это предположение позволяет решить поставленную задачу.

Нормальная составляющая скорости терпит разрыв при $x = 0$, поэтому соотношение (8) можно взять в виде $\partial \bar{m}_1(x, 0)/\partial y = -(M^2 - 1) \partial \bar{v}/\partial x$. С учетом того, что $\partial \bar{m}_1(x)/\partial y = 0$ при $x > 0$, равенство (4) принимает вид

$$\begin{aligned} \bar{m}_1(x, y = 0) &= \lim_{\varepsilon \rightarrow 0} \left[- \frac{1}{\sqrt{M^2 - 1}} \int_{x+\varepsilon}^{\infty} \frac{\partial \bar{m}_1(x - \bar{x})}{\partial y} J_0(a\bar{x}) \exp(i\alpha_0 \bar{x}) d\bar{x} - \right. \\ &\quad \left. - (M^2 - 1) \bar{v}(-\varepsilon, 0) J_0(ax) \exp(i\alpha_0 x) \right], \quad \varepsilon \ll 1. \quad (9) \end{aligned}$$

Подставим (7) в первое слагаемое правой части (9). (Заметим, что разрыв градиента массового расхода учтен во втором слагаемом.) В результате получим

$$\begin{aligned} m^1(\omega, \beta, x, 0) &= -\frac{1}{\sqrt{M^2-1}} \frac{1}{\sqrt{2\pi}} \int_x^\infty \left[\int_{-\infty+i\delta}^{\infty+i\delta} i\lambda \bar{m} \exp[i\alpha(x-\bar{x})] d\alpha \right] J_0(a\bar{x}) \exp(i\alpha_0\bar{x}) d\bar{x} = \\ &= -\frac{1}{\sqrt{M^2-1}} \frac{1}{\sqrt{2\pi}} \int_{-\infty+i\delta}^{\infty+i\delta} \left[i\lambda \exp(i\alpha x) \bar{m} \int_x^\infty J_0(a\bar{x}) \exp[i(\alpha_0-\alpha)\bar{x}] d\bar{x} \right] d\alpha. \end{aligned}$$

При $\delta < 0$ интеграл по \bar{x} существует. Поэтому подынтегральное выражение является аналитической функцией переменной α в нижней полуплоскости. Замыкая контур интегрирования в области отрицательных значений δ , получим $\bar{m}_1 = 0$. Это обстоятельство очевидно следует из проведенного анализа области разрыва градиента $\partial m/\partial y$. Для формального звукового пучка априори предполагалось, что $\bar{m}_1(x) = 0$ в области $x > 0$. Именно в этом предположении получено преобразование $\bar{m}(\alpha)$. Таким образом, колебания массового расхода вдоль пластины полностью определяются разрывом нормальной составляющей возмущения скорости на кромке пластины. Установим связь между нормальной составляющей скорости $\bar{v}(x)$ перед кромкой пластины и распределением массового расхода в области $x < 0$. На линии $y = 0$ соотношение (8) приводится к дифференциальному уравнению

$$\bar{m}_y^0(x) = -(M^2-1) \frac{\partial \bar{v}^0}{\partial x} - M^2 \frac{\partial \bar{v}^0}{\partial t}.$$

Применяя к \bar{v}^0 прямое и обратное преобразования Фурье, аналогичные (2) и (5), с учетом (6) получим

$$\begin{aligned} \bar{v}_0(\alpha) &= -\frac{1}{M^2-1} \frac{\lambda(\alpha) \bar{m}(\alpha)}{\alpha - \omega M^2/(M^2-1)}, \\ \bar{v}_0(x=0) &= -\frac{1}{\sqrt{2\pi}(M^2-1)} \int_{-\infty+i\delta}^{\infty+i\delta} \frac{\lambda(\alpha) \bar{m}(\alpha) d\alpha}{\alpha - \omega M^2/(M^2-1)}. \end{aligned}$$

Для каждой (нижней или верхней) полуплоскости α можно выбрать ветвь λ , удовлетворяющую условию $\text{Im}(\lambda) = 0$. В этом случае в каждой полуплоскости подынтегральная функция является аналитической. Для определенности выбираем верхнюю полуплоскость α ($\delta > 0$). Устремляя δ к нулю и обходя особую точку, получим

$$\bar{v}^0(0) = \sqrt{\pi/2} i\lambda(\alpha_0) \bar{m}(\alpha_0)/(M^2-1).$$

Заметим, что при обработке экспериментальных данных часто используется преобразование Фурье в виде $\tilde{m} = \int_{-\infty}^{\infty} \tilde{m}_1 \exp(-i\alpha x) dx$, т. е. $\tilde{m} = \sqrt{2\pi} \bar{m}$. Кроме того, для затухающих

на бесконечности возмущений выполняется условие $\lambda(\alpha_0) = ia\sqrt{M^2-1}$. Поэтому зависимость массового расхода от x (см. второе слагаемое в правой части (9)) можно записать в виде

$$\bar{m}_1(x, \beta, \omega) = -(1/2)a\sqrt{M^2-1} \tilde{m}(\alpha_0) J_0(ax) \exp(i\alpha_0 x). \quad (10)$$

Учитывая асимптотическое поведение функции Бесселя при больших значениях x , приведем (10) к виду

$$\bar{m}_1(x, \beta, \omega) \approx -\frac{1}{2} \sqrt{M^2 - 1} \tilde{m}(\alpha_0) \sqrt{\frac{a}{2\pi x}} \left\{ \exp \left[i \left(\alpha_1 x - \frac{\pi}{4} \right) \right] + \exp \left[i \left(\alpha_2 x + \frac{\pi}{4} \right) \right] \right\}, \quad (11)$$

где $\alpha_{1,2} = \alpha_0 \mp a$. С помощью выражений для α_0 и a из (4) можно показать, что $\alpha_{1,2} = \omega \bar{M} / (\bar{M} \mp 1)$, где $\bar{M} = M \cos \chi$; $\chi = \arctg(\beta / \alpha_{1,2})$.

Таким образом, интенсивность колебаний массового расхода уменьшается с увеличением расстояния от передней кромки и может изменяться в зависимости от ориентации исходной волны, а это зависит от спектра $\tilde{m}(\alpha, \omega, \beta)$ по β и величины a , которая возрастает с увеличением β . Формулы (10), (11) устанавливают связь массового расхода в области $x > 0$ по его распределению при $x < 0$.

ЛИТЕРАТУРА

1. Гапонов С. А., Маслов А. А. Развитие возмущений в сжимаемых потоках. Новосибирск: Наука. Сиб. отд-ние, 1980.
2. Gaponov S. A. Excitation of instability waves in the supersonic boundary layer by sound // Nonlinear instability of nonparallel flows: Proc. of the IUTAM Symp., New York, USA, July 26–31, 1993. N. Y.: Springer-Verlag, 1994. P. 206–212.
3. Маслов А. А., Семенов Н. В. Структура искусственных возмущений, вызванных внешним акустическим полем, в сверхзвуковом пограничном слое // Изв. АН СССР. Механика жидкости и газа. 1989. № 3. С. 82–90.
4. Федоров А. В., Хохлов А. П. Возбуждение неустойчивых мод в сверхзвуковом пограничном слое акустическими волнами // Изв. АН СССР. Механика жидкости и газа. 1991. № 4. С. 67–71.
5. Semionov N. V., Kosinov A. D., Maslov A. A. Experimental investigation of supersonic boundary layer receptivity // Transitional boundary layers in aeronautics: Proc. of the colloquium of Royal Netherlands Academy, Amsterdam, Netherlands, Dec. 6–8, 1995. Amsterdam: North-Holland, 1996. P. 413–420.
6. Gaponov S. A., Smorodsky B. V. Disturbance excitation in supersonic boundary layer by acoustics // Proc. of the Intern. conf. on the methods of aerophys. res., Novosibirsk, July 9–12, 1998. Novosibirsk: Publ. House SB RAS, 1998. Pt 3. P. 103–108.
7. Гапонов С. А. О математическом моделировании развития возмущений в пристенных течениях сжимаемого газа // Сиб. физ.-техн. журн. 1993. № 4. С. 24–37.

Поступила в редакцию 9/IV 2004 г.